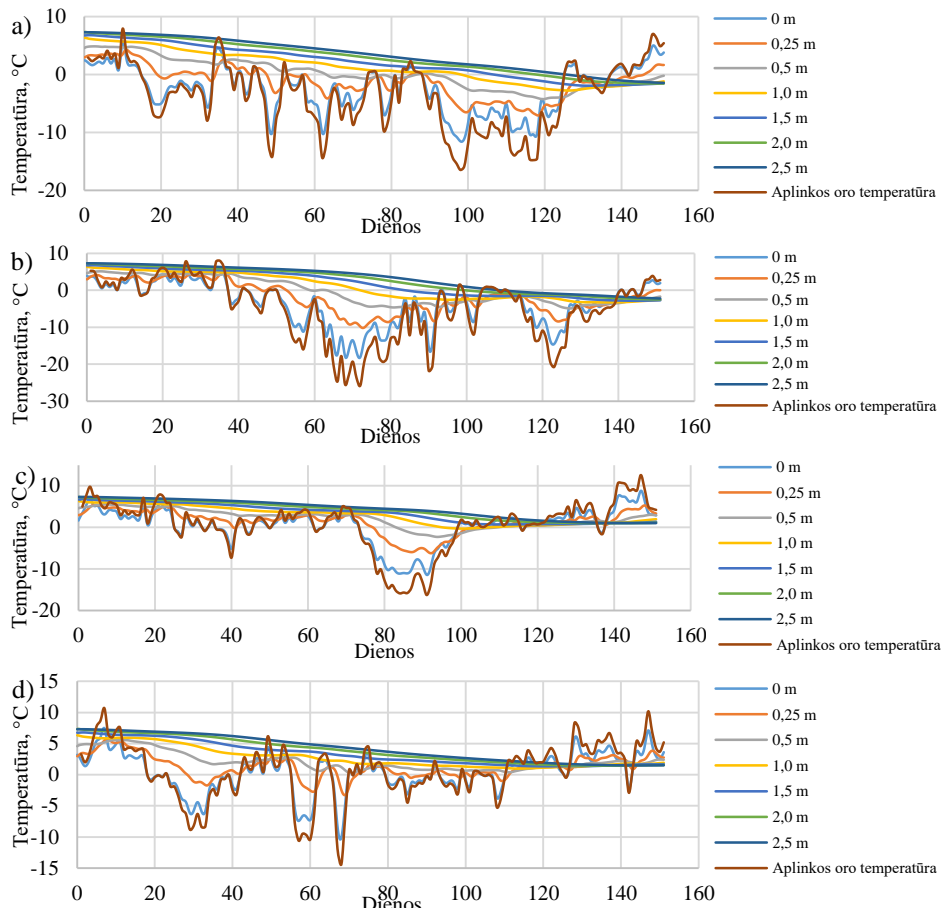
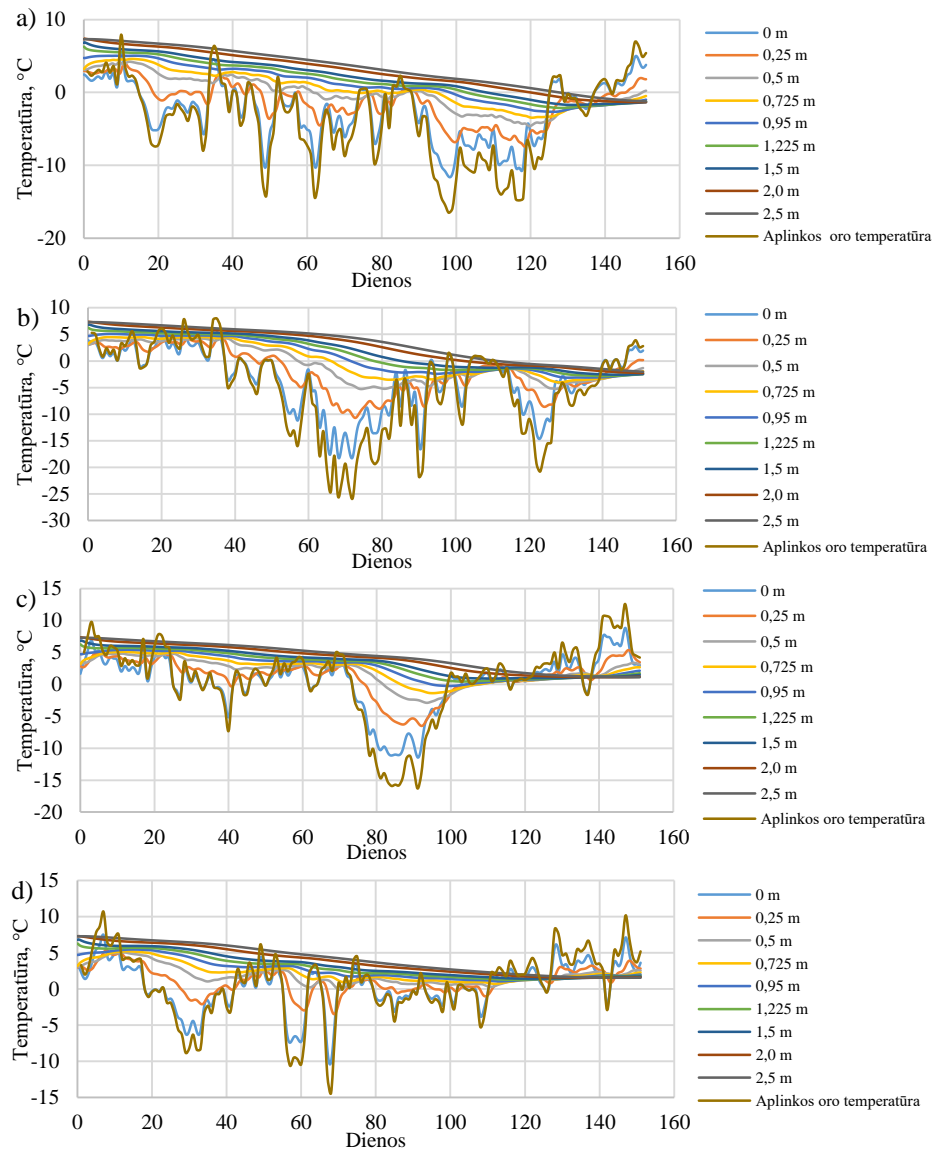


C priedas. Temperatūrų pasiskirstymai skirtinose skersinių profiliu GKK, veikiant Lietuvos AOT



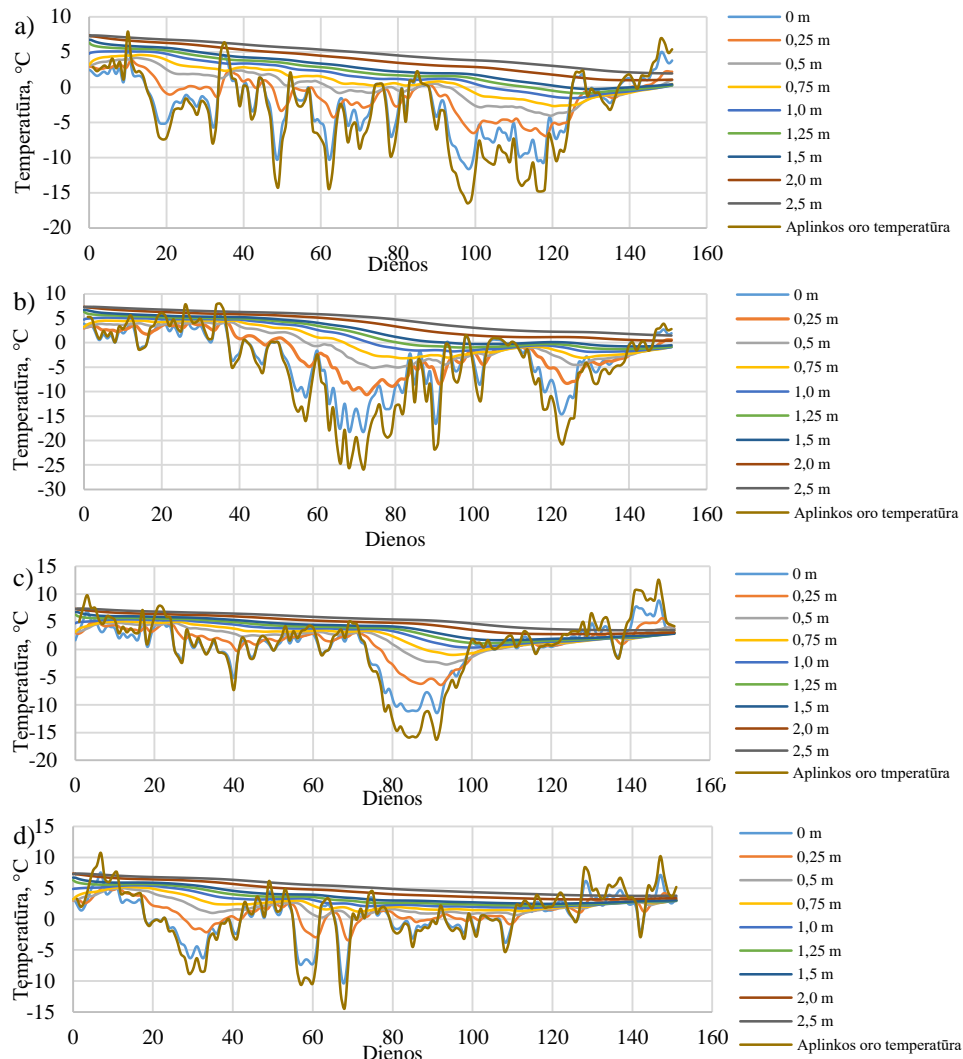
C.1 pav. Skirtingų laikotarpių aplinkos oro temperatūros poveikis, geležinkelio kelio konstrukcijai be pobalastinio sluoksnio, išalo gyliui: a) 1985/1986 lapkritis–kovas; b) 1986/1987 lapkritis–kovas; c) 2013/2014 lapkritis–kovas; d) 2014/2015 lapkritis–kovas

Fig. C.1. Frost depth results of railway track construction without sub-ballast layer of ambient air temperature of different periods: a) 1985/1986 November–March; b) 1986/1987 November–March; c) 2013/2014 November–March; d) 2014/2015 November–March



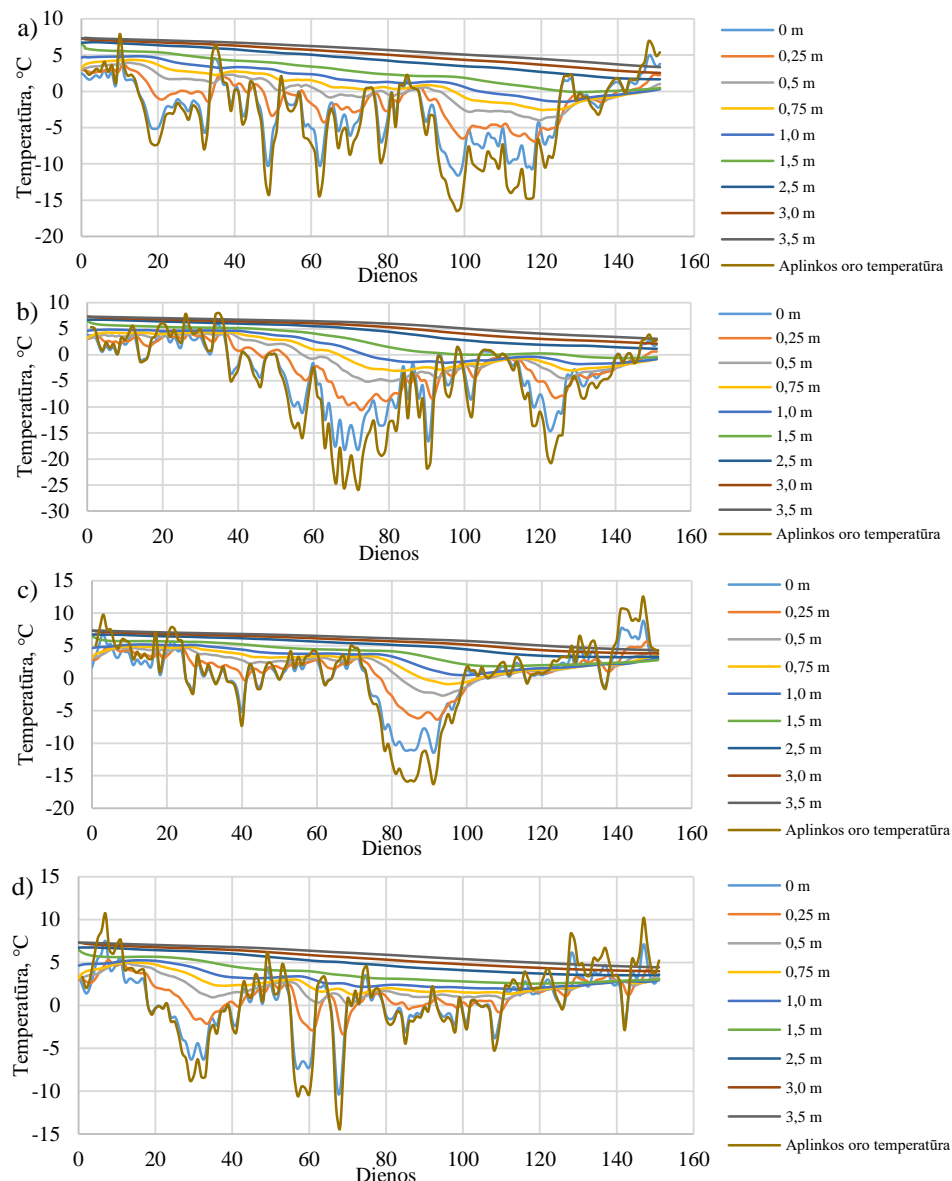
C.2 pav. Skirtingų laikotarpių aplinkos oro temperatūros poveikis, geležinkelio kelio konstrukcijai su pobalastiniu sluoksniu (0,5 m), įšalo gyliui: a) 1985/1986 lapkritis–kovas; b) 1986/1987 lapkritis–kovas; c) 2013/2014 lapkritis–kovas; d) 2014/2015 lapkritis–kovas;

Fig. C.2. Frost depth results of railway track construction with sub-ballast layer (0.5 m) of ambient air temperature of different periods: a) 1985/1986 November–March; b) 1986/1987 November–March; c) 2013/2014 November–March; d) 2014/2015 November–March



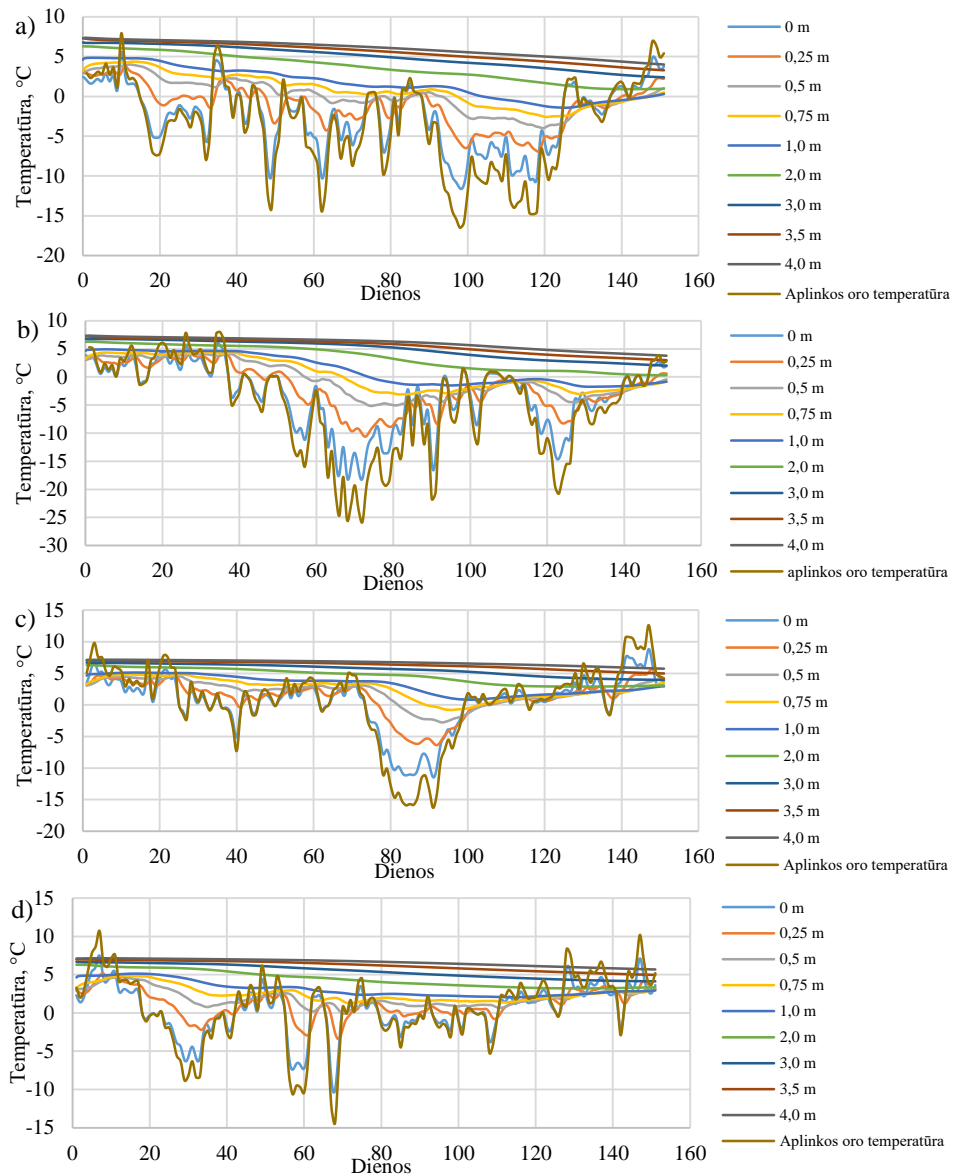
C.3 pav. Skirtingų laikotarpių aplinkos oro temperatūros poveikis P160M160F120R120 GKK įšalo gyliui:
 a) 1985/1986 lapkritis–kovas; b) 1986/1987 lapkritis–kovas; c) 2013/2014 lapkritis–kovas;
 d) 2014/2015 lapkritis–kovas

Fig. C.3. Frost depth results of P160M160F120R120 railway track construction of ambient air temperature of different periods: a) 1985/1986 November–March; b) 1986/1987 November–March;
 c) 2013/2014 November–March; d) 2014/2015 November–March



C.4 pav. Skirtingų laikotarpių aplinkos oro temperatūros poveikis P230 GKK įšalo gyliui: a) 1985/1986 lapkritis–kovas; b) 1986/1987 lapkritis–kovas; c) 2013/2014 lapkritis–kovas; d) 2014/2015 lapkritis–kovas

Fig. C.4. Frost depth results of P230 railway track construction of ambient air temperature of different periods:
 a) 1985/1986 November–March; b) 1986/1987 November–March; c) 2013/2014 November–March;
 d) 2014/2015 November–March



C.5 pav. Skirtingų laikotarpių aplinkos oro temperatūros poveikis P300 GKK įšalo gyliui: a) 1985/1986 lapkritis–kovas; b) 1986/1987 lapkritis–kovas; c) 2013/2014 lapkritis–kovas; d) 2014/2015 lapkritis–kovas

Fig. C.5. Frost depth results of P300 railway track construction of ambient air temperature of different periods:

- a) 1985/1986 November–March; b) 1986/1987 November–March; c) 2013/2014 November–March;
- d) 2014/2015 November–March